

Fig. 49A-1-001.  $\text{K}_3\text{BiCl}_6 \cdot 2\text{KCl} \cdot \text{KH}_3\text{F}_4$ .  $\kappa_c$  vs.  $T$  [86Bri2].

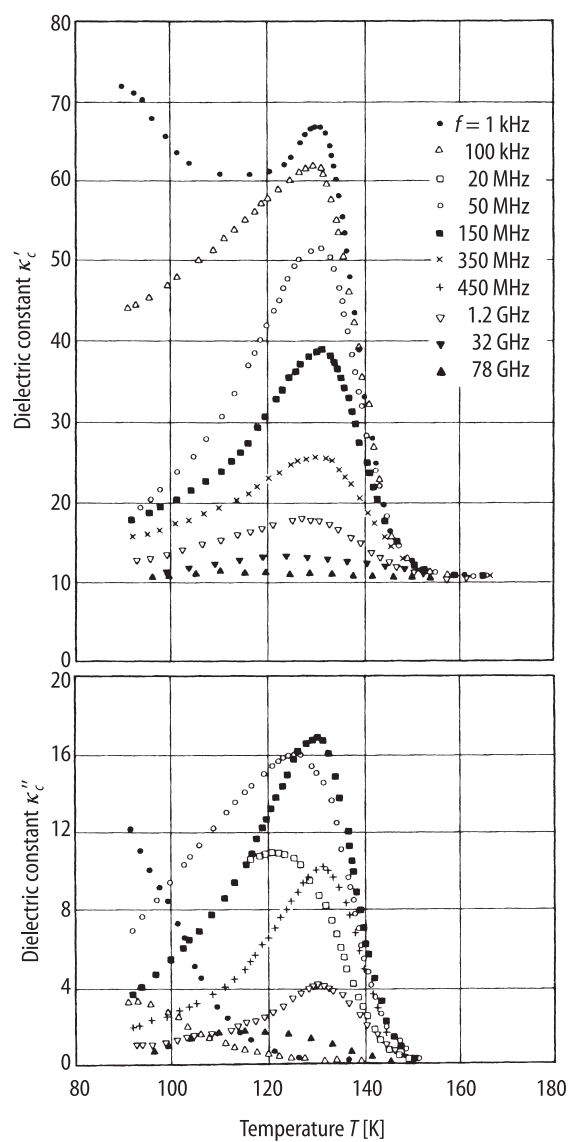
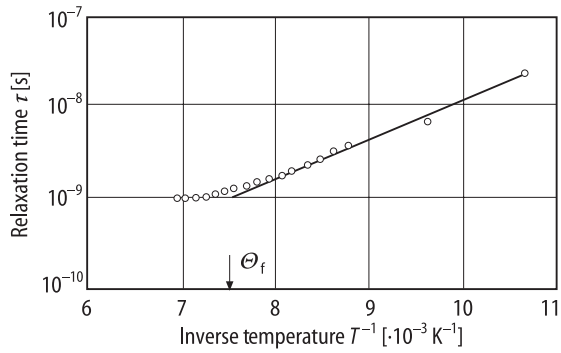
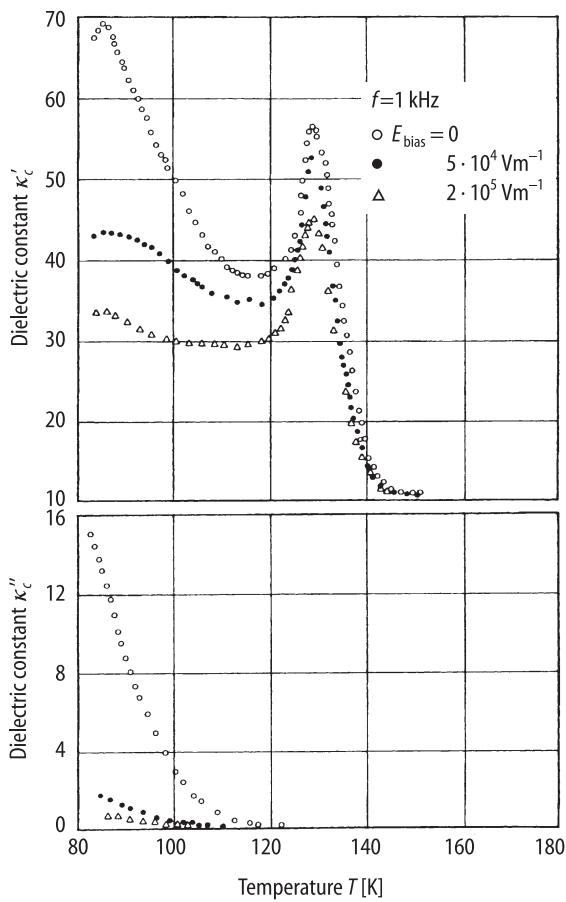


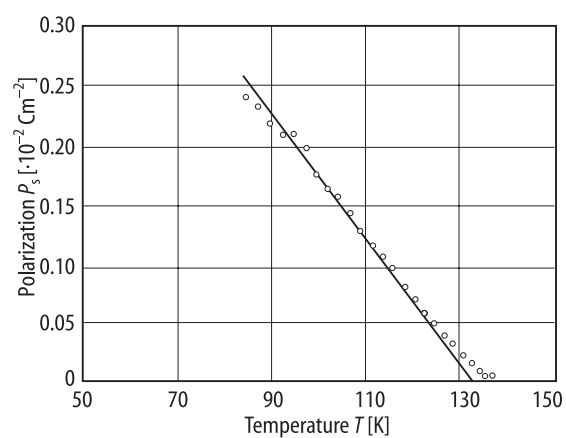
Fig. 49A-1-002.  $\text{K}_3\text{BiCl}_6 \cdot 2\text{KCl} \cdot \text{KH}_3\text{F}_4$ .  $\kappa'_c, \kappa''_c$  vs.  $T$  [86Bri1]. Parameter:  $f$ .



**Fig. 49A-1-003.**  $\text{K}_3\text{BiCl}_6 \cdot 2\text{KCl} \cdot \text{KH}_3\text{F}_4$ .  $\tau$  vs.  $T^{-1}$  [86Bri1].  $\tau$ : relaxation time of the dielectric dispersion.



**Fig. 49A-1-004.**  $\text{K}_3\text{BiCl}_6 \cdot 2\text{KCl} \cdot \text{KH}_3\text{F}_4$ .  $\kappa'_c, \kappa''_c$  vs.  $T$  [86Bri1]. Parameter:  $E_{\text{bias}}$ .



**Fig. 49A-1-005.**  $\text{K}_3\text{BiCl}_6 \cdot 2\text{KCl} \cdot \text{KH}_3\text{F}_4$ .  $P_s$  vs.  $T$  [86Bri2].